

希土類磁石

신 용 진

(명지대 공대 전자공학과 교수)

1. 序 論

최근의 자석은 單磁區粒子理論에 의하여 개발되었다. 즉, 높은 磁氣異方性定數 K_u 를 갖는 물질을 그 單磁區가 되는 $1\sim2\mu\text{m}$ 정도의 미립자로 하여, 磁化容易方向을 갖춘 다음 굳어지면, Fig.1과 같은 角型의 $4\pi I$ - H 히스테리시스를 갖는 자석재료가 얻어진다. 그 잔유자속밀도 B_r 과 고유보자력 H_{ci} 는 각각

$$B_r = 4\pi I_r = 4\pi I_s \quad (1)$$

$$H_{ci} = 2K_u / I_s \quad (2)$$

로 주어진다. 여기서 I_s 는 그 물질의 포화자화이다. 응용 면에서는 자석재료의 특성곡선은 일반적으로 B - H 减磁曲線으로 표시된다. $H_{ci} \geq 1/2B_r$ 을 만족하는 충분히 높은 고유보자력을 갖는 재료에서는 그 B - H 减磁曲線은 Fig.2(a), (b)와 같이 된다. 또 結晶磁氣異方性에 의한 높은 K_u 를 가지며, 높은 고유보자력을 갖는 최근의 자석에서는, 그 최대 에너지積의 값은

$$(BH)_{\max} = 4\pi^2 I_s^2 \quad (3)$$

으로 주어지는데, 일반적으로 재료의 포화자화에 의해서 결정된다. 따라서 고성능의 자석을 개발하기 위해서는, 높은 포화자화를 갖는 물질에 충분한 고유보자력의 부여가 요구된다.

이들 재료를 각각 $2\mu\text{m}$ 이하로 분쇄하여, 자체중에서 磁化容易方向을 갖도록하고 압축한 다음, 고온에서의 소결과정을 거쳐서 자석재료로 만들게 된다(Fig.3 참조).

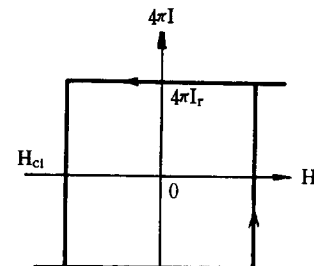


Fig. 1 $4\pi I$ - H hysteresis loop of a single domain particle.¹¹⁾

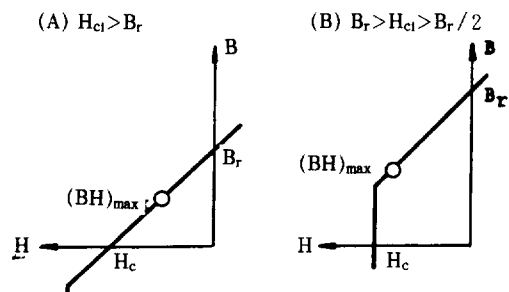


Fig. 2 Demagnetization curve of an advanced permanent magnets.¹¹⁾

이에 의해서 얻어지는 소결재료는 물질 본래의 밀도에 상당히 가까운 상태가 되는데, 원래의 미립자는 서로 접합 재결합으로 수 μm 이상의 粒度를 갖는 다결정이 된다.

최근의 자석은 이와같은 소결체로서 실용이 되는데,

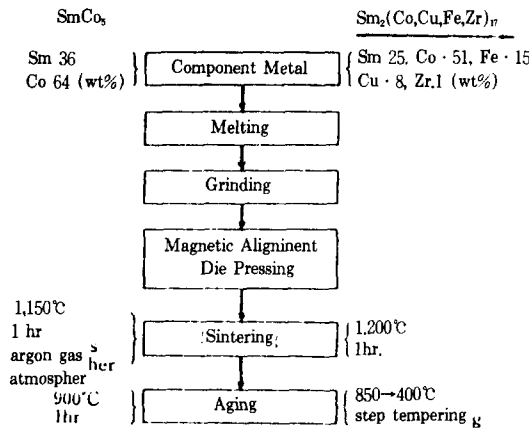


Fig. 3 Production steps for sintered RE-Cobalt magnets.⁵⁾

재료의 강도면에서나, 평균포화자화의 면에서도, 소결온도를 높게 하는것이 바람직 하다. 그런데 소결온도를 높게하면, 소결체의 결��粒度가 너무 커져서, 고유보자력이 떨어져 $(BH)_{max}$ 의 열화를 초래하게 된다. 일반의 실용소결자석의 보자력은 일반으로 식(2)로 계산되는 이론값을 크게 밀들게 된다. 그런데도 충분히 높은 고유보자력을 나타내어서 고성능의 자석이 될수 있는 것이다.

필자는 최근 각 분야에서 크게 주목을 받고 있는希土類磁石가운데 그 대표적인 것 몇가지를 개략적으로 소개하고자 한다.¹¹⁻¹²⁾

2. 希土類磁石

希土類磁石은 希土類 R과 Fe 또는 Co로 형성되는 金屬間化合物을 主相으로 하는 최신의 재료이다. R-Fe, R-Co화합물의 상당수는 4f電子의 강한 磁氣異方性과 3d電子의 강한 交換相互作用이, 4f-3d 상호작용에 의해 결합되어, 고성능영구자석재료로서 이상적인 성질을 나타낸다. 1960년대 후반에 $SmCo_5$ 형 烧結磁石이 최초로 등장하여 $(BH)_{max}=20MGoe(160 kJ/m^3)$ 를 얻으므로서 많은 사람을 놀라게 하였다. 1970년대에는 Sm_2Co_17 형 자석이 개발되고, 이어서 30MGoe($240 kJ/m^3$)의 벽을 깨었다.

$Sm\text{-}Co$ 화합물의 磁氣異方性에 대해서 주역을 맡고 있는 것은 Sm 으로서, Co 가 아니라는 사실이, 이를 화합물의 기초적인 연구에 의하여 밝혀졌는데, 당시, 고성능자석에 Co 가 불가결이라고 하는 고정관념을 불식시키는 것은 매우 곤란하였다.

RFe자석의 연구는 $SmCo$ 자석이 개발된 이후, 미미하

게 이어져 왔었는데, 1970년대 후반의 Co 의 품귀시기에 가속이 되었다. 그 결과 1980년대 들어와서 몇개의 연구진이 독자적으로 그 목표에 도달할 수가 있었다. 그것은 Sm 보다 자기모멘트가 크고, 자원이 10배나 풍부한 Nd, Pr과, Co 에 비하면 무진장이라 할수 있는 Fe의 새로운 화합물 $Nd_2Fe_{14}B$ 였다.

따라서 필자는 $SmCo_5$, Sm_2Co_{17} 및 $Nd_2Fe_{14}B$ 를 주로한 希土類磁石에 관해서, 합금조성과 보자력, 재료의 종류와 특성의 비교 및 이들의 응용에 관해서 간단히 기술한다.

2.1 $SmCo_5$ 燒結磁石

希土類가운데 최초로 주목된 것은, $CaCu_5$ 형 6방정구조를 갖는 RCo_5 형의 金屬間化合物이었다. 처음에는 R로서 Y, Gd 등이 주목되었으나, 이후고 $SmCo_5$ 金屬間化合物이 우수한 자석이 될수 있다는 사실이 발견되었다. 미국, 유럽을 중심으로 하여, 그 烧結磁石의 개발이 추진되어 $SmCo_5$ 燒結磁石은 1970년에 들어서면서 최고 성능의 영구자석으로서 실용화 되기에 이르렀다. 이 자석을 종종 1-5형 希土類磁石이라고도 하는데, 이것을 구성하는 화합물은, 112×10^6 erg/cm³라고 하는 매우 큰 결��磁氣異方性定數를 갖는 것으로서, 單磁區粒子理論에 의하면, 높은 보자력이 기대된다. 이 재료의 경우도, Fig.3에서와 같이, 미분말로 분쇄하여, 자계중에서 배향하고 압축하여, 최후에 소결하는 방법이 취해졌다. $Sm\text{-}Co$ 화합물은 化學量論的 조성 보다도 약간 Co 쪽으로 치우친 균일 相域을 갖는 부정화합물이다. 烧結磁石에서는 그보다도 Sm 쪽으로 치우친 조성의 합금모재로부터 제조하는 편이 높은 보자력을 얻을 수 있다는 사실이 알려져 있다. 이와같이 해서 만들어지는 烧結磁石은 직경 5~10μm 정도의 입자로된 다결정재로서, 소량의 Sm_2Co_17 상의 입자가 혼재한다. 그 자기특성은 $Br=8.9kG$, $Hci \sim 25kOe$, $(BH)_{max} \sim 20MGoe$ 에 달한다. 이것은 당시 전세계의 주목을 받았든 것은 말할 것도 없다. 특히 1-5형 자석의 고유보자력은 아주 큰 값으로서, 현재도 이 기록을 유지하고 있다. 따라서 그 B-H減磁曲線은 H축과 45°를 이루는 직선으로 표시되며, 이상적인 현대 자석의 형태를 지키고 있다.

그런데, 單磁區粒子理論에 의해서 기대되는 고유보자력 290kOe와 비교하면 소결 $SmCo_5$ 의 실제 측정값은 보통것의 1/10 정도이다.

위에서 기술한바와 같이, $SmCo_5$ 자석의 보자력은 대단히 크기 때문에 보통의 방법으로서는 측정이 곤란하였다. Fig.4는 펄스자계에 의한 減磁曲線計測技術로 얻어낸 결과이다. 여기서는 脱磁상태로부터 출발하여 매

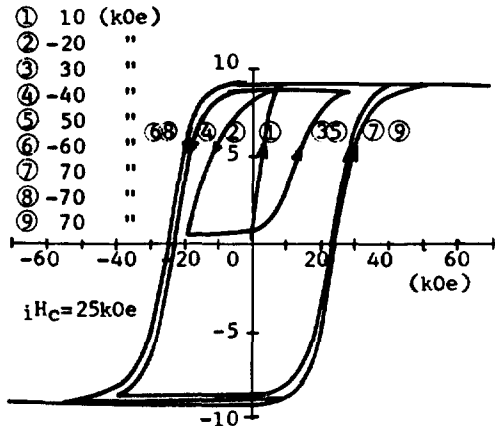


Fig. 4 Hysteresis loops of SmCo_5 magnet measured by a pulse field technique.¹¹⁾

회 펄스자계의 방향을 반전하여, 그 간격 10kOe씩 진폭을 증가하면서 측정을 되풀이한 결과를 나타낸 것이다. 결국 $\pm 7\text{kOe}$ 의 인가에 의해서 처음으로 완전한 히스테리시스·환선을 그릴수가 있었기 때문에, $H_{ci}=2\text{kOe}$ 를 결정할수 있었다. 특히 그 초기자화곡선으로 부터, 이 재료의 경우磁壁의 이동이 비교적 용이하다는 것을 알 수 있다. 이러한 높은 보자력을 갖는 재료에서 보자력 보다도 훨씬 작은 자계로磁壁이 이동할수 있다는 것은, 물론 불가사의 하다고 할수 있을 것이다.

2.2 Sm_2Co_17 希土類磁石

SmCo_5 자석이 실용화된 수년 뒤에, 그보다 더 큰 $(\text{BH})_{\text{max}}$ 를 가질 수 있는 자석의 개발연구가 전세계에서 활발히 진행되었는데, 그 결과 새로운 형태의 希土類磁石이 나타나게 되었다. 앞에서도 기술한 바와같이, 그것은 보다 큰 포화자화를 갖는 재료에 충분한 고유보자력을 부여한다고 하는 발상에 근거한 것이었다.

Sm-Co 2원계에 있어서 SmCo_5 보다도 Co에 치우친 6방정 Th_2Zn_11 형 Sm_2Co_17 의 金屬間化合物이 존재하며, 12KG 라고 하는 높은 포화자화를 갖는다는 사실이 알려져 있다. 그런데, 이 화합물은 1-5형과 같은 높은 고유보자력이 얻어지지 않기 때문에, 고성능자석의 부류에는 들어갈 수가 없었다. 그 이유는 1-5형 화합물에 비하면 結晶磁氣異方性定數가 $32 \times 10^6 \text{ erg/cm}^3$ 로 낮기 때문이다. 그런데, 이 낮점은 교묘한 방법으로 해결되어 2-17형 화합물을 사용하는 고성능자석이 드디어 만들어 지게 되었다. 그것은 $R(\text{Co}, \text{TM})_z$ 형의 조성을 갖는 합금으로써, 역시 소결체로서 제조된다. 여기서 R은 希土類 원소, TM은 Co 이외의 천이금속원소, Z는 希土類원

소와 천이금속의 原子比를 표시한다.

이 형태의 자석은 2-17형 希土類磁石으로 불리워지며, 1200°C 부근의 고온에서는 TbCu_7 구조의 단상(1-7相)이지만, 800°C 이하에서는 2相으로 분해하고 미세한 2-17相이 망목상으로 석출하는 1-5相에 의해서 셀구조를 형성한다. 이 상태에서는 고성능자석으로서 충분히 높은 보자력을 나타낸다. 그 이유는 磁壁이 셀경계에 고착되어서 그 이동이 곤란하기 때문인 것으로 생각하고 있다. 이 자석의 자화곡선은, Fig. 5에 나타낸 바와같이, 낮은 오름세의 초기자화곡선으로 특징지워지는 형상을 갖으며, SmCo_5 烧結磁石과는 대조적이다.

2-17형 자석의 대표적인 것은, $\text{Sm}(\text{Co}_{0.67}, \text{Fe}_{21}, \text{Cu}_{10}, \text{Zr}_{0.1})_{7.4}$ 로 표시되는 조성의 합금자석이다. 이것도 합금을 써보미크론의 미분말로 파쇄한 다음, 자제중에서 압축하여 소결하므로 만들어진다(Fig. 3 참조). 1200°C 이상에서는 TbCu_7 형 6방정구조의 1-7형 單相狀態이지만, 800°C 이하의 적절한 時效燒鈍에 의해서 셀狀 구조의 1-5相과 2-17相의 2相狀態로 변태한다. 이것을 모식적으로 나타내면 Fig. 6과 같이 되며, 얇은 망상으로 퍼진 1-5相에 의하여 소세포상으로 분할된 2-17相으로 되는 2相狀態가 된다. 이 때, 磁壁이 그의 相境界에 포착되어 그 이동이 곤란하게 되므로 높은 보자력을 나타내게 된다. Zr을 함유하는 이 希土類燒結磁石에서는 $B_r = 11.2\text{kG}$, $H_{ci}=6.7\text{kOe}$, $(\text{BH})_{\text{max}}=30\text{MGoe}$ 의 우수한 자석특징을 나타내었다. 그 조성에서도 알 수 있는 바와같이, Sm과 천이금속의 原子比는 7.4로서 높기 때문에, 그의 $4\pi I_s$ 값은 SmCo_5 를 웃돌고 있으며, 열처리에 의해서 얻어진 보자력은 $B_r/2$ 를 넘기 때문에, Fig. 2(b)와 비슷한 B-H減磁曲線을 나타내고, 높은 $(\text{BH})_{\text{max}}$ 의 값을 달성할 수가 있다.

이런 형태의 希土類磁石은 2-17형으로서, 2相구조를 갖는다는 것이 특징이다. Fig. 5는 2-17형 자석의 $4\pi I-\text{H}$ 히스테리시스환선인데, Fig. 4와의 비교로 분명한 바와같이, 거의 수평에 가까운 초기자화곡선이 특징적이다.

2-17형 자석은 消磁상태에서는 磁壁을 갖는다는 점에서는 1-5형과 마찬가지 이지만, 양자는 초기자화곡선의 형상에서는 전혀 다르다. 이들 두 종류의 希土類磁石이, 磁壁移動에 따라 그 보자력의 기구가 대칭적으로 서로 다르다는 것은 주목할만한 것이다.

2.3 $\text{Nd}_2\text{-Fe}_{14}\text{-B}$ 磁石

$\text{Nd}-\text{Fe}-\text{B}$ 계의 새로운 希土類磁石은 일본의 住友特殊金屬(株)의 연구진에 의하여 개발된 것인데, 처음 보고된 자석의 특성은 $B_r=12.5\text{kG}$, $H_{ci}=11.1\text{kOe}$, $(\text{BH})_{\text{max}}$

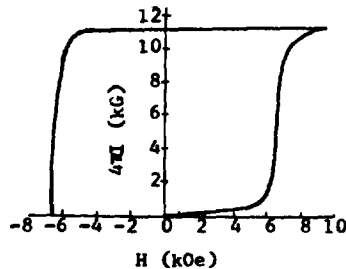


Fig. 5 Hysteresis loop of 2-17 type rare earth magnet.¹¹⁾

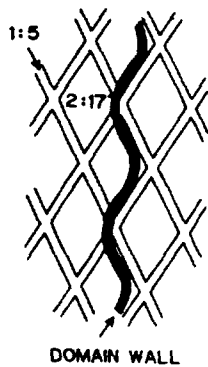


Fig. 6 Scheme of wall-pinning mechanism.¹⁰⁾

=36MGoe로서 놀라운 것이었다. Neomax로 이름 붙여진 이 재료도, 이제까지의 希土類磁石과 마찬가지로, 미분분의 소결에 의하여 만들어진다. 그 주성분은 $\text{Fe}_{14}\text{Nd}_2\text{B}$ 로 표시되는 정방정구조의 3元金屬間 화합물이다. 이것은 $a=8.80\text{\AA}$, $c=12.21\text{\AA}$, $c/a=1.39$ 의 격자정수 정방정에 속하며, 단위포중에 68원자를 함유하는 복잡한 구조를 갖는다. Nd와 Fe의 2원계에 존재하는 金屬間化合物 Nd_2Fe_17 은 $T_c=54^\circ\text{C}$, $4\pi I_s=8.9\text{kG}$ 의 강자성화합물이지만 K_u 가 부이기 때문에 자석재료로서는 무시되어 왔다. 이에 대해서 약간의 B를 첨가한 $\text{Fe}_{14}\text{Nd}_2\text{B}$ 가 $T_c=312^\circ\text{C}$, $4\pi I_s=1.61\text{kG}$, $K_u=45\times 10^6\text{ erg/cm}^2$ 의 훌륭한 자기특성을 나타내는 것은 주목할만한 사실이다.

자석의 제조는 $\text{Fe}_{14}\text{Nd}_2\text{B}_8$ 조성의 합금을 고주파용해한 다음 그 ingot를 수 μm 이하로 미분해하고 자계중에서 압축한 다음, Ar분위기중에서 1100°C 로 소결한다. 그런 다음에 다시 600°C 에서 완결焼鈍을 한다. 합성조성이 Fe에 치우치게 되면 Br 이 상승하지만 H_{ci} 는 떨어지는 경향을 나타낸다. 소결재의 결정점은 약 $10\mu\text{m}$ 로서 粒界 부근에서는 Nd 혹은 Nd산화물 등의 혼재가 확인되지만, 粒내는 일반적으로 主相 $\text{Fe}_{14}\text{Nd}_2\text{B}$ 화합물로서 磁壁移動에는 전혀 장애가 없는 것으로 생각된다.

$\text{Fe}_{14}\text{Nd}_2\text{B}$ 자석도 SmCo_5 자석과 마찬가지로 큰 結晶磁氣異方性定數를 가지며, 높은 H_{ci} 를 나타낸다. 그 위에 이 화합물에서는 Fe와 Nd의 原子 자기모멘트가 강자성적, 즉, 평행으로 결합한다. 또 함유되는 Fe의 成分原子 %가 크기 때문에, 그 포화자화는 SmCo_5 의 그것을 크게 웃돌고 있으며, 위에서 기술한 바와같은 큰 $(\text{BH})_{max}$ 를 얻을 수가 있다. 지표에 존재하는 希土類원소 가운데 Nd는 풍부한 것 중의 하나이며, 또 자원적으로 부족한 Co를 포함하지 않는다는 사실도 이 자석이 SmCo_5 자석에 비해서 유리한 조건으로 되어있다. 그렇지만 $\text{Fe}_{14}\text{Nd}_2\text{B}$ 화합물의 Curie온도는 312°C 이하로서 낫기 때문에, 열안정성이 떨어진다는 것, 또한 Fe를 주성분으로 하기 때문에 녹슬기 쉽다는 것이 실용상의 결점으로 되어 있다.

Nd-Fe-B계 자석도 热消磁된 상태에서는 그 결정립 내에서는 많은 磁壁의 존재가 확인 되었으며 (Fig.6), 또 그 초기자화곡선은 급격한 오름세를 나타내고, 離生성지배형의 자석재료라는 것이 알려져 있다. 여기서도 10kOe 를 넘는 높은 고유보자력의 원인은 아직 미해결의 상태에 있다. 이 새로운 초고성능자석의 출현은 전세계의 많은 연구종사자를 자극하였으며, 현재 그 규명에 노력이 집중되고 있는 실정이다.

최근 GM社의 연구진이 超急冷法으로 만든 리본 재로 Nd-Fe-B계 자석의 제조기술 개발에 성공했는데, 이 방법으로 만들어진 자석도 Neomax와 같은 정도의 자기특성을 나타내는 것으로 알려져 있다.

3. 希土類磁石의 응용

Table 1은 여러가지 希土類磁石의 자기특성을 정리해놓은 것이다.

음향기기나 OA기기, FA기기의 소형, 경량화 및 고성능화의 요구에 따라, 이들에 사용되는 영구자석은 종래의 alnico자석이나 ferrite 자석으로부터 希土類磁石으로 옮겨지고 있다. 또 MRI(核磁氣共鳴斷像裝置)등의 새로운 용도도 생겨나고 있다.

여기서는 希土類磁石의 중요한 용도 두가지를 소개하기로 한다.

3.1 VCM

VCM(Voice Coil Motor)은 자기디스크장치의 자기헤드 위치설정에 사용되는 actuator이다. VCM에서는 영구자석이 만드는 자계중에서 코일 만이 움직인다. 이 때문에 VCM은, 가동부의 무게가 작고, 고속출발·정지가 가능하며, 스무스한 연속운동이 되고, 정밀한 제어가

Table 1 Magnetic properties of various kinds of rare-earth permanent magnets.¹²⁾

Materials	B_r (kG)	H_{cr} (kOe)	H_o (kOe)	$(BH)_{max}$ (MG Oe)	α (%/°C)	β (%/°C)	T_c (°C)
SmCo ₅	9.0	8.4	16.0	19	-0.045	-0.3	725
Sm(Co-Fe-Cu-Zr) ₇	11.3	8.0	9.0	30	-0.03	-0.15	850
Sm(Co-Fe-Cu-Zr) ₇	10.5	9.0	16.0	26	-0.03	-0.15	850
Sm(Co-Fe-Cu-Zr) ₁₀	8.5	6.8	9.5	16			
(Nd-Dy) _{1-x} Fe _x E _y	12.4	11.8	15	37	-0.12	-0.6	310
(Nd-Dy) _{1-x} Fe _x B _y	12.1	11.5	13	35	-0.12	-0.6	310
(Nd-Dy) _{1-x} Fe _x B _y	12.1	11.6	17	35	-0.12	-0.58	310
(Nd-Dy) _{1-x} Fe _x B _y	11.2	10.7	17	30	-0.11	-0.58	310
(Nd-Dy) _{1-x} Fe _x B _y	11.2	10.7	21	30	-0.11	-0.58	310
Nd ₂ Fe ₁₄ B ₆	6.1	5.3	15.0	8	-0.19	-0.42	310
Nd ₃ Fe ₁₃ B ₆	7.9	6.5	16.0	14	-0.157	-0.47	310
Nd ₁₃ Fe ₆ B ₆	11.8	10.5	13.0	32	-0.157	-0.6	310

되며, 인덕턴스가 작고 무효소비전력이 작은 것 등, 정밀하면서, 고속의 위치선정장치로서 가장 우수한 actuator이다. VCM에 고성능의 희土類磁石을 사용하면, 소비전력의 경감(ferrite, alnico자석의 경우에 비해서 20~40%감소), 그래서 응답성의 제고가 시도되고 있다. 자기디스크장치의 대용량, 고속화, 경량화에 따라서, 희土類磁石은 점점 고성능화가 기대되고 있다. 현재는 Sm₂Co₁₇형 자석이 주류를 이루고 있지만, 앞으로 이보다 고성능으로서, 싼값의 Nd-Fe-B燒結磁石으로 바뀌어 갈 것으로 예상된다. 100°C 이상에서 사용되는 일은 거의 없기 때문에 熱減磁의 문제는 없는 것으로 생각해도 된다.

3. 2 MRI

인체의 임의의 방향의 斷層撮像이 되는 MRI장치가 보급단계에 들어가려하고 있다. 이 장치에서는 사람을 수용할수 있는 충분한 크기의 공간에, 강력하면서 시간적, 공간적으로 ppm수준의 균일한 자제가 필요한 것이다. 자제를 발생하는 수단으로서, 영구자석, 常傳導電磁石 및 超傳導電磁石의 3방식이 있다. 그중에서 영구자석방식은 전력이나 헬리움의 소비를 수반하지 않는 가장 경제적인 것으로 생각된다.

현재 Nd-Fe-B자석의 출현으로, 영구자석 형태의 자기회로가 세계 각처에서 연구되기에 이르렀으며, 앞으로 영구자석방식은 보급형 MRI장치로서 각 병원에 설치될것으로 기대한다.

4. 結論

영구자석의 非可逆減磁는, 보자력이 큰것일 수록 작다. 고보자력형 Sm₂Co₁₇자석은 현재 열적으로 가장 안정한 희土類磁石이다. Nd-Fe-B 자석은 보자력의 온도계수가 크기 때문에, 더욱더 고보자력의 재질을 개발할 필요가 있다. Nd-Fe-B자석의 고보자력화에는 Dy의 첨

Table 2 A comparison of cost performance value of permanent magnet (in Japan).⁴⁾

	casting magnet	ferrite magnet	rare-earth magnet
$(BH)_{max}$	7	4	20
ave. cost	6	0.68	62
cost performance	0.85	0.17	3.1
ave. cost/ $(BH)_{max}$	(100)	(20)	(360)

가가 유효하다는 사실이 알려져 있는데, 최근, Ga의 첨가도 대단히 효과가 있는 것으로 보고되어 있다. 그 효과는 Co를 많이 함유하는 Nd-Fe-Co-B 합금에서 현저하다. 이것은 Nd-Fe-B자석이 아직도 개량의 여지가 남아있다는 것을 나타내고 있는 것이다. 현재의 Nd-Fe-B자석에서도 100~140°C 이하에서는 열적으로 충분히 안정하여 非可逆減磁가 적다. 150°C 이상에서는 고보자력형 Sm₂Co₁₇형 자석과 SmCo₅자석을 사용해야 할것이다. 耐候性의 점에서도 SmCo자석은 Nd-Fe-B자석 보다 우수하다. 비바람에 셋기거나, 고온다습한 환경에서 장시간 사용되는 경우에는 SmCo자석을 사용해야 한다.

그런데 Nd-Fe-B자석도 적당한 표면처리에 의하여 통상의 용도에 충분히 견딜수 있다. 더욱이 혹독한 환경에도 견딜수 있는 표면처리의 개발과 자석재료의 개량이 진행되고 있다. 현재 자석의 가격은 SmCo자석이나 Nd-Fe-B자석도 별로 변하지 않고 있으나, 원료가격과 자석의 생산기술개량으로 앞으로 양자간의 가격차는 점점 더 벌어져 갈것이 확실하다. Table.2는 참고로 영구자석의 cost performance를 비교한 것으로서, 일본에서의 1980년을 기준으로 한것이다.

Nd-Fe-B자석은 SmCo자석으로부터 바뀌어 가는것 만이 아니고, 고성능자석을 다양으로 사용하는 새로운 용도가 개발되어가고 있다. 앞으로는 희土類磁石가운데에서 Nd-Fe-B계와 SmCo계의 생산량 비율은, Nd+Pr과 Sm의 광석중의 존재량비율에 따를 것으로 생각된다.

참 고 문 헌

- 1) E.A. Nesbitt et.al.: IEEE Trans Mag., MAG-9, P.203, 1973
- 2) J.J. Becker: IEEE Trans. Mag., MAG-12, P.965, 1976
- 3) Y.Tawara et.al.: Jpn. J.Appl. Phys., Vol.14, P.1619, 1977
- 4) 新妻茂雄: 日本應用磁氣學會誌, Vol.6, No.1, P.4, 1982
- 5) 米山・福野・尾島: 日本應用磁氣學會誌, Vol.6, No.

-
- 1, P.9, 1982
 - 6) J.J. Croat et.al.: J.Appl. Phys., Vol.55, P.2078, 1984
 - 7) M. Sagawa et. al.: J. Appl. Phys., Vol.55, P.2083,
1984
 - 8) 懇鏞進: 電氣學會誌; Vol.34, No.6, P.346, 1985
 - 9) P. Schrey: IEEE Trans. Mag., MAG-22, P.913,
1985
 - 10) 米山・尾島: 永久磁石の 開發・材料設計と 磁氣回路の 解析・設計技術. 總合技術セミナー, p.87, 1986
 - 11) 岩間義郎: 日本應用磁氣學會誌, Vol.11, No.4, P.501,
1987
 - 12) 佐川眞人: 日本應用磁氣學會誌, Vol.11, No.4, P.526,
1987